

ходит модификация арсенида галлия. Его свойства (спектральный состав люминесценции и скорость травления) отличаются от свойств исходного кристалла. Отметим, что если восстановление спектрального состава излучения происходит после стравливания  $20 \div 30$  мкм, то полное восстановление интенсивностей полос достигается лишь на глубине  $120 \div 150$  мкм. Выяснение природы полосы  $D$  требует дополнительных экспериментальных исследований.

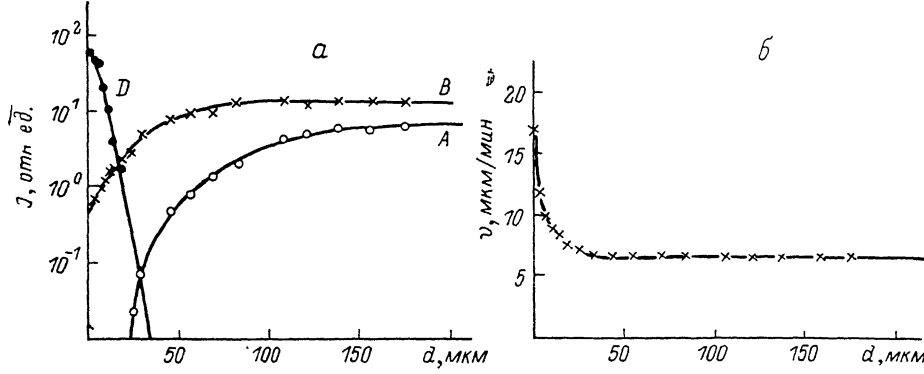


Рис. 2. Координатные изменения интенсивностей излучения полос  $A$ ,  $B$  и  $D$  (а) и скорости травления (б) облученных кристаллов GaAs $\langle$ Te $\rangle$ .

#### Л и т е р а т у р а

- [1] Курбатов Л. Н., Стоянова И. Г., Трохимчук П. П., Трохин А. С. — ДАН СССР, 1983, т. 268, в. 3, с. 594—597.
- [2] Арутюнов Е. Н., Ковальчук Ю. В., Погорельский Ю. В., Портной Е. Л., Смольский О. В. — Письма ЖТФ, 1983, т. 9, в. 21, с. 1298—1301.
- [3] Савицкий Г. В., Кияк С. Г., Гафийчук В. В., Нарольский А. Ф. — УФЖ, 1985, т. 30, в. 2, с. 260—263.
- [4] Хайбуллин И. Б., Смирнов Л. С. — ФТП, 1985, т. 19, в. 4, с. 569—591.
- [5] Громов Г. Г., Руденко К. В., Уфимцев В. Б. — ЖТФ, 1986, т. 56, в. 10, с. 1998—2000.
- [6] Наследов Д. Н., Царенков Б. В. — В кн.: Тр. IX Межд. конф. по физике полупроводников. М., 1968.
- [7] Logan R. M. — J. Phys. Chem. Sol., 1971, v. 32, p. 1755.
- [8] Физико-химические методы обработки поверхности полупроводников / Под ред. Б. Д. Луфта. М., 1982. 136 с.

Ленинградский политехнический институт  
им. М. И. Калинина

Получено 28.01.1988  
Принято к печати 2.06.1988

*ФТП, том 22, вып. 10, 1988*

#### ЗАРЯДОВОЕ СОСТОЯНИЕ РЕКОМБИНАЦИОННЫХ ЦЕНТРОВ В ZnIn<sub>2</sub>Se<sub>4</sub>

Мехтиев Н. М., Алиев Г. М., Гусейнов З. З.

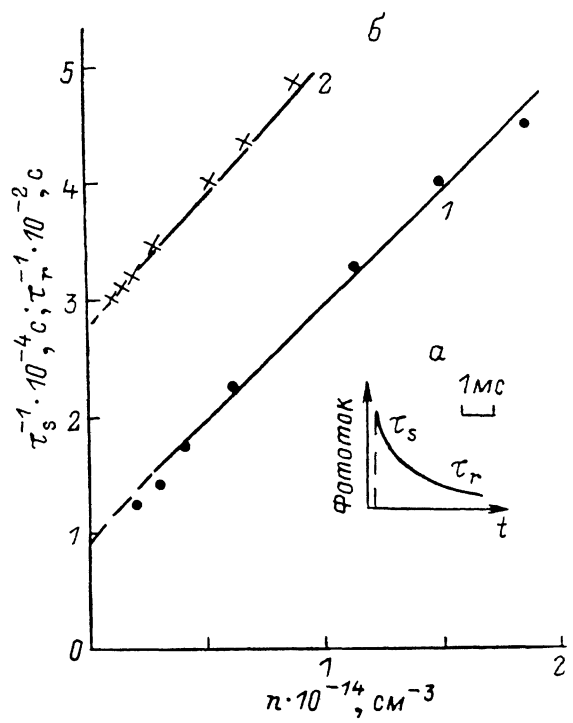
В работе [1] на основе исследований стационарных характеристик фотопроводимости нами показано, что при оптическом возбуждении рекомбинация неравновесных носителей в ZnIn<sub>2</sub>Se<sub>4</sub> осуществляется быстрыми (*s*) и медленными (*r*) центрами рекомбинации. Однако стационарные характеристики фототока недостаточны для установления зарядового состояния и определения индивидуальных параметров соответствующих центров. Исследования релаксации неравновесных фотоносителей при возбуждении полупроводника короткими импульсами собственного света позволяют наиболее полно изучить механизм рекомбинации и определить параметры локальных центров. Настоящая работа, в которой представлены результаты исследования кинетических характеристик

фототока в широкой области изменения интенсивности излучения и температуры, в этом смысле является логическим продолжением исследований фотоэлектрических свойств  $ZnIn_2Se_4$ .

Монокристаллы  $n\text{-}ZnIn_2Se_4$  были получены методом химических транспортных реакций с применением в качестве переносчика кристаллического иода. Неравновесные fotoносители создавались облучением естественной поверхности образцов (112) одночными импульсами азотного лазера ЛГИ-21 ( $\lambda=0.337$  мкм). Длительность импульса излучения ( $\sim 10^{-8}$  с) можно считать достаточно короткой [2], так как время релаксации основных носителей в photoчувствительных полупроводниках обычно меньше  $10^{-6}$  с. Поскольку энергия фотонов излучения лазера намного превышает значение ширины запрещенной зоны  $ZnIn_2Se_4$  ( $\epsilon_g \approx 1.93$  эВ [3]), неравновесные носители образуются в приповерхностной области образца, и, в принципе, они могут вести себя иначе, нежели в объеме. Сравнение photoэлектрических характеристик  $ZnIn_2Se_4$  при объемном [1] и поверхностном возбуждениях показывает удовлетворительное согласие температурных и люксовых характеристик. Это, с одной стороны, свидетельствует о высоком качестве естественной поверхности (112), а с другой стороны, позволяет использовать короткие импульсы лазера ЛГИ-21 для установления схемы рекомбинаций fotoносителей в  $ZnIn_2Se_4$ . Наличие уровней прилипания [4] и долговременных эффектов [5] в  $ZnIn_2Se_4$  вызывает искажение кривых релаксации, для устранения чего образцы освещались непрерывным собственным светом.

Рис. 1.

*a* — импульс фототока при 77 К, *b* — концентрационные зависимости  $\tau_s^{-1}$  (1) и  $\tau_r^{-1}$  (2).



При низких температурах, когда термическое гашение собственной photoпроводимости отсутствует [1], релаксация фототока в  $ZnIn_2Se_4$  состоит из двух компонент — быстрой и медленной (рис. 1, *a*). Поскольку за время действия импульса ( $\sim 10^{-8}$  с) неравновесные дырки уже захватываются центрами рекомбинации, можно считать, что быстрые и медленные участки релаксации являются «автономными» для *s*- и *r*-центров соответственно. Амплитуда быстрых и медленных участков определяется парциальными выходами рекомбинационных центров *g<sub>s</sub>* и *g<sub>r</sub>* [2]. При этом после окончания импульса релаксация неравновесных электронов определяется выражением [2]

$$\Delta n \sim g_s \exp(-t/\tau_s) + g_r \exp(-t/\tau_r), \quad (1)$$

где  $\tau_s$  и  $\tau_r$  — время релаксации электронов *s*- и *r*-центраторами, и состоит из двух экспоненциальных участков с резко различными временами ( $\tau_s \ll \tau_r$ ). Наличие быстроременного участка в кинетике фототока при низких температурах обусловлено изменением дырочного заполнения *s*- и *r*-центров при использовании коротких импульсов. Амплитуда медленного участка зависит от степени photoчувствительности полупроводника и определяется соотношением концентраций *s*- и *r*-центров и их начального заполнения. Температурная и люкс-

вая зависимости  $\tau_s$  и  $\tau_r$  позволяют определить индивидуальные параметры  $s$ -и  $r$ -центров.

На рис. 2, а представлены временные зависимости фототока в  $ZnIn_2Se_4$  медленного и быстрого участков при 77 К и различных интенсивностях. Как видно из рисунка, наклоны кривых, из которых определены значения  $\tau_s$  и  $\tau_r$ , зависят от концентрации фотоэлектронов. Концентрационные зависимости  $\tau_r^{-1}$  и  $\tau_s^{-1}$  представлены на рис. 1. Как следует из рис. 1, при слабых и средних интенсивностях выполняется линейная зависимость, согласно выражениям [2]

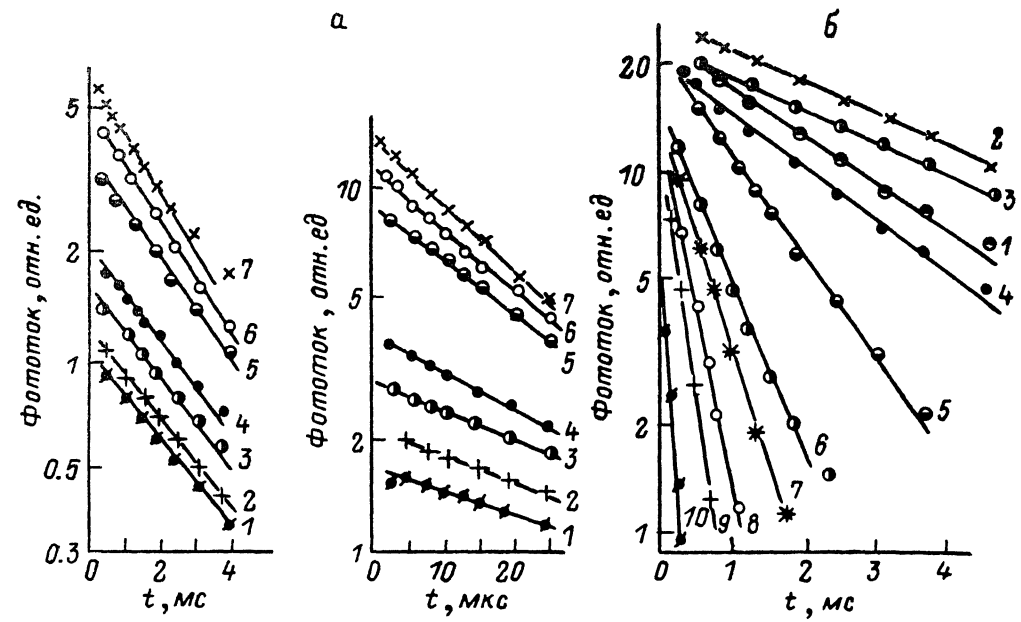


Рис. 2.

Кривые релаксации фототока: а — медленного и быстрого компонентов при различных интенсивностях ( $T=77$  К, интенсивность возбуждения с ростом порядкового номера кривых увеличивается); б) при различных температурах, К: 1 — 77, 2 — 100, 3 — 110, 4 — 121, 5 — 131, 6 — 145, 7 — 153, 8 — 170, 9 — 200, 10 — 240.

$$1/\tau_r = C_{nr} (2n + P_r^0), \quad 1/\tau_s = C_{ns} (u + P_s^0), \quad (2)$$

где  $C_{r,s}$  — коэффициенты захвата электрона,  $P_{r,s}^0$  — дырочное заполнение  $r$ -и  $s$ -центров. По наклонам зависимостей (2) из рис. 1 можно определить  $C_{nr}$  и  $C_{ns}$ , которые оказываются  $C_{nr} \approx 2.5 \cdot 10^{-12}$  и  $C_{ns} \approx 2 \cdot 10^{-10}$  см<sup>3</sup>/с. Учитывая, что коэффициенты захвата определяются в виде  $C_{r,s} = S_{r,s}v$ , где  $v$  — тепловая скорость, для сечения захвата электронов  $r$ - и  $s$ -центрами получаем  $S_{nr} \approx 2.5 \cdot 10^{-19}$  и  $S_{ns} \approx 2 \cdot 10^{-17}$  см<sup>2</sup>. Сечение захвата дырок  $r$ -центраторами было определено с использованием значения  $S_{nr}S_{pr}$  [1] и оказалось  $S_{pr} \approx 10^{-15}$  см<sup>2</sup>. Найденные значения  $S_{nr}$  и  $S_{pr}$  позволяют предположить, что  $r$ -центры в  $ZnIn_2Se_4$  являются однозарядными акцепторами. Захват дырок происходит в притягивающем кулоновском поле, а захват электрона — нейтральными центрами. Формулы (2) справедливы начиная с интенсивностей, при которых уже произошла перелокализация дырок с  $s$ - на  $r$ -центры. По этой причине прямолинейные участки зависимостей  $\tau_r^{-1}(n)$  и  $\tau_s^{-1}(n)$  отсекают от оси ординат ( $n=0$ ), согласно (2), отрезки  $C_{nr}P_r^0$  и  $C_{ns}P_s^0$ . Значения  $P_r^0$  и  $P_s^0$ , найденные по известным значениям  $C_{nr}$  и  $C_{ns}$ , оказываются равными  $P_r^0 \approx 5 \cdot 10^{13}$ ,  $P_s^0 \approx 10^{14}$  см<sup>-3</sup>. Последнее значение удовлетворительно согласуется со значением  $P_r^0$ , определенным из стационарных характеристик фототока [1].

Релаксация фототока в  $ZnIn_2Se_4$  при различных температурах представлена на рис. 2, б. Как видно, в области температур 77—125 К, где отсутствует термическое гашение фототока [1],  $\tau_r$  меняется незначительно. Существенное изменение  $\tau_r$  происходит при  $T \geq 125$  К, когда в  $ZnIn_2Se_4$  происходит термическое гашение фотопроводимости. При этом  $\tau_r$  экспоненциально уменьшается за счет

термической ионизации  $r$ -центров и усиления рекомбинации  $s$ -центрами. При высоких температурах, когда  $r$ -центры полностью ионизируются, рекомбинация управляетя  $s$ -центрами и в релаксации фототока медленный участок исчезает. Если учесть, что при росте температуры в  $ZnIn_2Se_4$  изменяется концентрация свободных электронов вследствие ионизации донорных уровней и уровней прилипаний [6], определить глубину залегания  $r$ -центров по температурной зависимости  $\tau_r$  трудно.

В заключение можно прийти к выводу, что фоточувствительность нелегированных монокристаллов  $ZnIn_2Se_4$  обусловлена присутствием в запрещенной зоне на расстоянии  $\sim 0.54$  эВ от потолка валентной зоны однозарядных акцепторных уровней, как и в случае  $CdIn_2Se_4$  [7]. Сечения захвата дырок  $r$ -центрами в  $CdIn_2Se_4$  и  $ZnIn_2Se_4$  мало различаются. Однако сечение захвата электронов в  $ZnIn_2Se_4$  оказывается в десятки раз меньше, чем в  $CdIn_2Se_4$ , что делает  $ZnIn_2Se_4$  одним из самых фоточувствительных среди соединений  $A^{II}B^{III}C^{VI}$  [8, 9]. Возможно, по сравнению с  $CdIn_2Se_4$  в  $ZnIn_2Se_4$  отсутствуют благоприятные условия для образования антиструктурных дефектов [9].

### Л и т е р а т у р а

- [1] Мехтиев Н. М., Гусейнов З. З., Салаев Э. Ю. — Изв. АН АзССР, сер. физ.-тех. и мат. наук, 1984, № 6, с. 72—75.
- [2] Лашкарев В. Е., Любченко А. В., Шейнкман М. К. Неравновесные процессы в фотопроводниках. Киев, 1981. 264 с.
- [3] Мехтиев Н. М., Гусейнов З. З., Салаев Э. Ю. — ФТП, 1984, т. 18, в. 6, с. 1088—1090.
- [4] Manca P., Raga F., Spiga A. — Nuovo Cimento, 1974, v. 19B, N 1, p. 15—28.
- [5] Filipowicz J., Romeo N., Tarricone L. — Sol. St. Commun., 1981, v. 28, N 7, p. 619—623.
- [6] Мехтиев Н. М., Гусейнов З. З. — ФТП, 1988, т. 22, в. 4, с. 700—703.
- [7] Мехтиев Н. М., Гусейнов З. З., Салаев Э. Ю. — ФТП, 1985, т. 19, в. 9, с. 1642—1646.
- [8] Fortin E., Raga F. — Sol. St. Commun., 1974, v. 14, N 9, p. 847—850.
- [9] Георгиани А. Н., Радаудан С. И., Тиггиняну И. М. — ФТП, 1985, т. 19, в. 2, с. 193—212.

Институт физики АН АзССР  
Баку

Получено 18.02.1988  
Принято к печати 2.06.1988

ФТП, том 22, вып. 10, 1988

### ИСПОЛЬЗОВАНИЕ СПЕКТРОВ ПОЛЯРИТОННОЙ ЛЮМИНЕСЦЕНЦИИ ДЛЯ ХАРАКТЕРИСТИКИ КАЧЕСТВА КРИСТАЛЛОВ GaAs

Жиляев Ю. В., Россин В. В., Россина Т. В., Травников В. В.

Исследование спектров низкотемпературной фотолюминесценции может быть источником обширной информации о различных параметрах кристаллов. Спектры люминесценции связанных экситонов и спектры донорно-акцепторной люминесценции характеризуют такие параметры кристалла, как степень компенсации, суммарная концентрация мелких примесей, их химическая природа (см., например, [1, 2]). Кинетические параметры прямозонных кристаллов могут быть определены по форме спектров поляритонной люминесценции (ПЛ) [3]. Причем это может быть сделано при стационарных условиях возбуждения без проведения сложных экспериментов по непосредственному исследованию кинетики процессов энергетической релаксации, рассеяния и пространственной диффузии. Связано это с тем, что спектры ПЛ в значительной мере определяются пространственно-энергетической функцией распределения поляритонов. При этом даже слабые изменения этой функции сильно проявляются в спектре ПЛ из-за больших абсолютных значений коэффициента поглощения и острых спектральных зависимостей коэффициентов пропускания и поглощения. В данной работе показана возможность использования спектров ПЛ для оценки качества кристаллов GaAs.